



## Photo-Modification of starch-oleic acid by TiO<sub>2</sub>: investigation of food packaging properties

Rahmatollah Pourata<sup>1</sup>, Hamid Jahangir-Esfahani<sup>2</sup>, Iman Shahabi-Ghahfarrokhi<sup>2\*</sup> 

Received: 2020.10.07

Accepted: 2020.12.24

### How to cite this article:

Pourata, R., Jahangir-Esfahani, H., Farhoosh, R., Shahabi-Ghahfarrokhi, I., (2022). Photo-Modification of starch-oleic acid by TiO<sub>2</sub>: investigation of food packaging properties. *Iranian Food Science and Technology Research Journal*. 18(1), 113-127.

### Abstract

**Introduction:** Among the bio-based materials which used in the food packaging, starch is interested as an ecofriendly material. This interest is mainly due to its acceptable film forming properties, easy access, renewability and low cost. Nevertheless, high hydrophilic and weak mechanical properties have been limited its utilization as a commercial packaging material. Many researches have been done to reduce hydrophilic properties of starch using chemical modification, irradiation, and composition with nanoparticles and other biopolymers. Most of the methods are based on blocking the hydroxyl groups of starch chains with hydrophobic agents, formation of emulsions and blocking of the pores. Fatty acids, such as oleic acid (OA) are lipid derivatives that can potentially improve the moisture barrier properties of hydrophilic films. OA is a yellow liquid at room temperature and miscible with biopolymer without further heating treatment. Due to the polar nature of biopolymers, OA needs to surfactant to get homogenous distribution in the matrix of biopolymers. On the other hand, OA is not very sensitive to oxidation which increases its safety in food packaging applications. Titanium dioxide (TiO<sub>2</sub>) is an inert, cheap and nontoxic material with broad application as a food pigment and potential activity against a wide variety of microorganism due to its photocatalytic activity. TiO<sub>2</sub> is the most commonly used semiconductor, photocatalyst which activated by UV ray. The main purpose of the current study was modification of starch hydrophilicity using OA, nano-titanium dioxide and UV ray. In this study OA and TiO<sub>2</sub> added at the optimized condition and the solution was irradiated by UV ray.

**Materials and Methods:** A starch solution 5 (wt. %) in distilled water was prepared. This solution was mixed and heated (85 °C for 15 min) until the starch gelatinized. Thus, plasticizer (glycerol, 40 wt. % of dry base) was incorporated into the solution to achieve more-flexible films. OA 1(wt. % of dry base) mixed with Tween 80 as emulsifier (10 wt. % of the OA). This solution was mixed and heated (50 °C for 10 min). Then, 10 ml of distilled water was added to the solution, and homogenized by ultrasonic homogenizer (Dr. Hielscher, Teltow, Germany) for 7 min. The suspension of TiO<sub>2</sub> nanoparticles in water was prepared so that the final TiO<sub>2</sub> content in film specimens was 2 (wt % of dry base). The suspensions were stirred for 10 min, and homogenized by ultrasonic homogenizer for 60 min. The TiO<sub>2</sub> suspension was added to starch solution gradually and mixed for 10 min. Afterward, OA- Tween 80 solution was added to starch solution gradually and mixed for 10 min.

The starch solution containing TiO<sub>2</sub> and OA was homogenized by ultrasonic homogenizer for 7 min. Film forming solution placed under three UV-C lamps (8w, Phillips, Holland) at a distance of 5 cm. The solutions were stirred simultaneously with UV irradiation. After 0, 30, 60 and 90 min of UV exposure, the air bubbles were removed and the solutions were casted into flat, leveled, non-stick disposable 15 cm-Petri dishes. Each of the dishes were contain 43 g which dried for 48 hours at room temperature. All the film specimens were conditioned at 50-55% relative humidity and room temperature for 48 hours before subjected to further analysis.

Moisture content (MC), moisture absorption (MA), solubility in water (SW), water vapor permeability (WVP), surface properties, visual properties and mechanical properties of the film specimens were measured. The chemical structure of the films was investigated by FTIR spectroscopy.

1. Department of Chemistry, Faculty of Science, University of Zanjan, Zanjan, Iran.

2. Department of Food Science and Engineering, Faculty of Agriculture, University of Zanjan, Zanjan, Iran.

(\* Corresponding Author's Email: [i.shahabi@znu.ac.ir](mailto:i.shahabi@znu.ac.ir) )

DOI: [10.22067/IFSTRJ.2021.40178.0](https://doi.org/10.22067/IFSTRJ.2021.40178.0)

**Results and Discussion:** The results shown that water contact angle of the starch film was increased by adding OA and TiO<sub>2</sub>. But it was decreased after UV exposure of the starch-OA-TiO<sub>2</sub> solution. WVP of the starch based films was decreased by its composition with OA and TiO<sub>2</sub>. But no change was observed after UV exposure of the starch-OA-TiO<sub>2</sub> compositions. MC of the starch-OA-TiO<sub>2</sub> film had no change, simultaneously.

However, the tensile strength and Young's modulus were decreased by adding OA-TiO<sub>2</sub>. Elongation at break and tensile energy to break were increased, simultaneously. However, the mechanical properties of the starch-OA-TiO<sub>2</sub> nanocomposites were changed by UV exposure but these changes did not follow a specific trend.

Although, whiteness index (WI) and total color difference ( $\Delta E$ ) were not changed by OA-TiO<sub>2</sub> composition. But yellowness index (YI) was changed, simultaneously. After UV irradiation  $\Delta E$  and YI were increased and WI was decreased. The results, demonstrated that the virgin starch-OA-TiO<sub>2</sub> composition was the best modification method to decrease the sensibility of starch based films to moisture as a packaging material. UV irradiation at short time (30 min) was the optimum condition to modify sensibility of the films to moisture and mechanical properties among the UV cured films.

**Keywords:** Hydrophobicity, Oleic acid, Starch, nano TiO<sub>2</sub>, Ultraviolet ray.

## مقاله علمی-پژوهشی

# اصلاح کامپوزیت نشاسته-اسید اولئیک با استفاده از روش اصلاح نوری تشدید یافته به کمک نانو دی اکسید تیتانیوم: بررسی خصوصیات کاربردی در بسته‌بندی مواد غذایی

رحمت اله پورعطا<sup>۱</sup> - حمید جهانگیر اصفهانی<sup>۲</sup> - ایمان شهابی قهفرخی<sup>۳\*</sup>

تاریخ دریافت: ۱۳۹۹/۰۷/۱۶

تاریخ پذیرش: ۱۳۹۹/۱۰/۰۴

### چکیده

در میان پلیمرهای زیست تخریب پذیر، استفاده از نشاسته به علت قیمت ارزان و دسترسی آسان از اهمیت به سزایی برخوردار است، اما به علت مقاومت کم و آبدوستی زیاد در این بیوپلیمر، هنوز استفاده از آن در صنعت بسته بندی عملیاتی نشده است. هدف از این پژوهش، اصلاح ویژگی‌های آبدوستی و مکانیکی فیلم نشاسته با استفاده هم‌زمان از اسید اولئیک، نانو دی اکسید تیتانیوم ( $TiO_2$ ) و پرتو فرابنفش (UV-C) بود. در این پژوهش، محلول نشاسته-اسید اولئیک- $TiO_2$  تهیه؛ و به منظور بهبود خصوصیات کاربردی آن، این محلول در بازه‌های زمانی (صفر، ۳۰، ۶۰ و ۹۰ دقیقه) توسط پرتو UV-C اصلاح گردید، سپس فیلم آن به روش قالب گیری محلول تهیه شد. جهت بررسی خصوصیات کاربردی فیلم در بسته بندی مواد غذایی ضخامت، مقاومت مکانیکی، زاویه تماس، نفوذ پذیری نسبت به بخار آب، جذب رطوبت، محتوای رطوبت و حلالیت فیلم‌ها مورد بررسی قرار گرفتند. آزمون‌ها در قالب طرح کاملاً تصادفی اجرا، و نتایج آن به روش دانکن مورد مقایسه قرار گرفتند. نتایج نشان دادند، که با افزودن اسید اولئیک و  $TiO_2$  به محلول نشاسته، زاویه تماس به طور قابل ملاحظه‌ای از ۷۲/۲۶ به ۹۰/۳۴ درجه افزایش و نفوذ پذیری نسبت به بخار آب و جذب رطوبت فیلم‌های نشاسته‌ای کاهش می‌یابد. در مطالعه خواص مکانیکی نیز مشاهده شد که با افزودن اسید اولئیک و  $TiO_2$ ، مقاومت کششی و الاستیسیته کاهش و کشش پذیری و انرژی کششی تا لحظه پاره شدن افزایش یافته است. با اعمال پرتو دهی در بازه زمانی کوتاه مدت (۳۰ دقیقه)، تمامی پارامترهای مربوط به خواص مکانیکی افزایش، و حلالیت به آب و جذب رطوبت فیلم‌های نشاسته‌ای کاهش یافتند. به نظر می‌رسد، استفاده هم‌زمان از UV-C و  $TiO_2$  باعث بهبود اثر پرتو UV-C جهت ایجاد اتصالات عرضی در ماتریس بیوپلیمر به صورت نشاسته-نشاسته و اسید اولئیک شود؛ با این حال، استفاده از  $TiO_2$  باعث تشدید اثر پرتوی UV-C و تسریع تغییرات آن در بازه زمانی کوتاه تری (۳۰ دقیقه) شد. به طور کلی به منظور بهبود خاصیت آبرگریزی و خواص مکانیکی فیلم نشاسته، استفاده از اسید اولئیک و  $TiO_2$  به صورت توأم بهترین نتایج این پژوهش را در برداشته است. از این رو یک گام رو به جلو برای استفاده صنعتی از نشاسته در بسته بندی مواد غذایی به حساب می‌آید.

**واژه‌های کلیدی:** آب‌گریزی، اسید اولئیک، نشاسته، نانو  $TiO_2$ ، UV

### مقدمه

است، که در میان این بیوپلیمرها، استفاده از ماده‌ای که از لحاظ اقتصادی مقرون به صرفه و دسترسی به آن آسانتر باشد، از اهمیت بالاتری برخوردار است. (Ozdemir et al., 2004). نشاسته یکی از ارزان ترین و در دسترس ترین مواد موجود در طبیعت است، که به وفور یافت می‌شود. نشاسته به دلیل قابلیت تشکیل فیلم، زیست تخریب پذیری و قابلیت تجدید پذیری در طبیعت، از اهمیت خاصی برخوردار است (Jahangir-Esfahani et al., 2018)، اما به علت ماهیت آبدوستی بالا و مقاومت مکانیکی ضعیف، کمتر در بسته بندی مواد غذایی مورد استفاده قرار می‌گیرد (Jamal Abadi et al., 2015; Linthorst, 2010).

امروزه استفاده از پلاستیک‌های سنتتیک در صنعت بسته بندی مشکلات زیادی از جمله: آلودگی محیط زیست، عدم تجزیه سریع و مصرف آن‌ها توسط جانداران مختلف را به دنبال داشته است. از این رو، صنعت بسته بندی به دنبال راهکارهای مؤثری جهت جایگزین کردن پلیمرهای طبیعی و زیست تخریب پذیر به جای پلیمرهای نفتی است (Ghanbarzadeh et al., 2008). در تحقیقات گسترده‌ای از بیوپلیمرهایی همچون: کیتوزان (Vargas et al., 2010)، پروتئین سویا (Gennadios et al., 1998)، پروتئین آب پنیر (Hassannia et al., 2015) و کربوکسی متیل سلولز (Ghanbarzadeh et al., 2009) در تهیه پلیمرهای زیست تخریب پذیر استفاده شده است. قابل ذکر

\* i.shahabi@znu.ac.ir

(\*) ایمیل نویسنده مسئول:

۱- استادیار، گروه شیمی، دانشگاه زنجان، زنجان، ایران.

۲ و ۳- به ترتیب دانش‌آموخته کارشناسی ارشد و استادیار، گروه علوم و صنایع غذایی، فناوری مواد غذایی، دانشگاه زنجان، زنجان، ایران.

روش مؤثر و به‌طور همزمان، تأثیر به‌سزایی در اصلاح ویژگی آب‌دوستی بیوپلیمر نشاسته داشته باشد. در این پژوهش سعی شد تا تأثیر استفاده از  $TiO_2$ ، پرتو فرابنفش و اسید اولئیک به‌طور همزمان، در اصلاح ساختار نشاسته و بهبود ویژگی آب‌دوستی آن مورد بررسی قرار گیرد.

### مواد و روش‌ها

نشاسته ذرت (۱۳-۱۱ درصد رطوبت) از شرکت زرین ذرت شاهرود تهیه شد. اسید اولئیک، امولسیفایر توئین ۸۰، نیترات منیزیم و گلیسرول از شرکت مرک (آلمان) و  $TiO_2$  از شرکت نانوشیل (آمریکا) خریداری شد. کلرید سدیم و کلرید کلسیم نیز از شرکت دکتر مجلی (ایران) تهیه شد. برای واکنش‌های پلیمریزاسیون نوری از لامپ فرابنفش ساخت شرکت فیلیپس (هلند) و در محدوده فرابنفش نوع C با توان ۸ وات استفاده شد.

### تهیه فیلم نشاسته

سوسپانسیون ۵ درصد وزنی- وزنی نشاسته ذرت در آب مقطر تهیه شد. این محلول طی مخلوط شدن توسط همزن مغناطیسی به مدت ۱۵ دقیقه در دمای  $85^{\circ}C$  تحت حرارت قرار گرفت. پس از ژلاتینه شدن نشاسته، جهت خروج حباب‌های هوا و سرد شدن آن، سوسپانسیون نشاسته در حالت سکون قرار گرفت. سپس مقدار ۴۰ درصد (وزنی- وزنی) بر پایه وزن خشک نشاسته) گلیسرول به‌عنوان نرم‌کننده به سوسپانسیون ژلاتینه افزوده شد. جهت پخش کامل نرم‌کننده، محلول حاصل به مدت ۱۰ دقیقه تحت فرآیند هم زدن قرار گرفت (Goudarzi et al., 2018).

### آماده‌سازی امولسیون اسید اولئیک

اسید اولئیک به میزان ۱٪ نسبت به وزن خشک نشاسته و توئین ۸۰ (امولسیفایر) به میزان ۱۰٪ نسبت به وزن اسید اولئیک با یکدیگر مخلوط شدند (Ghanbarzadeh et al., 2008). جهت اتصال امولسیفایر با اسید چرب، ترکیب حاصل به مدت ۱۰ دقیقه در دمای  $50^{\circ}C$  توسط همزن مغناطیسی همگن شد. چون اسیدچرب غیرقطبی و محلول نشاسته قطبی می‌باشد، امتزاج اسید چرب با این محلول دشوار است. به‌منظور تشکیل امولسیون نشاسته- اسید اولئیک، مقدار ۱۰ گرم آب مقطر به مخلوط اسید اولئیک- امولسیفایر افزوده شد و ترکیب حاصل به مدت ۷ دقیقه توسط هم‌وزنایزر اولتراسونیک (Probe Ultrasonic processor- Dr Hielscher) یکنواخت گردید (Jahangir-Esfahani et al., 2018).

روغن‌ها و اسیدهای چرب به دلیل ماهیت آب‌گریزی بالا، موجب افزایش ماهیت آب‌گریزی فیلم‌های نشاسته‌ای می‌شوند (Ghanbarzadeh et al., 2011). در این روش، امولسیون نشاسته با اسید چرب ساخته می‌شود. به این ترتیب اسید چرب در ماتریس پلیمر قرار گرفته و با ایجاد اتصالات عرضی، نفوذپذیری نسبت به بخار آب در پلیمر کاهش می‌یابد (Slavutsky et al., 2015).

پرتو UV-C، به علت طول‌موج کوتاه و بسامد زیاد، پرا انرژی‌ترین نوع پرتو فرابنفش محسوب می‌شود و قدرت تخریبی آن بالاتر است (Kovacs et al., 2014). با تابش این پرتو به محلول نشاسته، به علت ایجاد رادیکال‌های آزاد و تغییر پیوندها، ویژگی‌های پیکری زنجیره نشاسته تغییر می‌کند که در نتیجه این تغییرات، خواص فیزیکی و شیمیایی فیلم نشاسته تا حدودی بهبود می‌یابد (Goudarzi et al., 2017; Campos et al., 2012).

دی‌اکسید تیتانیوم ( $TiO_2$ )، نوعی اکسید فلزی خنثی و نیمه‌هادی است، که به دلیل سمیت کم، پایداری بالا، سازگاری زیستی فوق‌العاده و واکنش‌پذیری نوری، جایگاه ویژه‌ای در صنعت شیمی و پلیمر پیدا کرده است (Li et al., 2013).  $TiO_2$  معمولاً در مقیاس نانومتری استفاده می‌شود. این ویژگی  $TiO_2$  سبب شده تا با افزایش نسبت سطح به حجم، میزان فصل مشترک بین سطح نانوذره و ماتریس پلیمر افزایش یابد، به‌این‌ترتیب تخلخل و فضای خالی بین پلیمری، با نانو ذرات پر می‌شود و مسیری غیرمستقیم برای عبور مولکول‌های آب ایجاد می‌شود (Li et al., 2007).  $TiO_2$  دارای دو باند ظرفیت (پر از الکترون) و هدایت (خالی از الکترون) است. بین این دو باند فاصله خاصی قرار دارد، که تحت تابش پرتو UV-C با طول‌موج کمتر از ۳۸۷ نانومتر، الکترون‌های موجود در لایه ظرفیت  $TiO_2$  برانگیخته‌شده و به لایه هدایت منتقل می‌شوند؛ این حالت بسیار ناپایدار و فعال برای  $TiO_2$  محسوب می‌شود (Linsebigler, 1995). طی برانگیخته شدن الکترون‌ها، در لایه ظرفیت حفره‌های خالی ایجاد شده که پس از واکنش با آب، موجب تولید رادیکال‌های آزاد می‌شوند، به این ترتیب اگر ترکیبی در مجاورت  $TiO_2$  باشد، امکان بروز واکنش‌های اکسیداسیون و احیاء در آن ترکیب فراهم می‌گردد (Li et al., 2011). اخیراً پژوهش‌های متعددی در مورد اصلاح نشاسته انجام شده است (Goudarzi et al., 2018; Almasi et al., 2009; Kim et al., 2018; Shahabi Ghahfarrokhi, 2018). آنچه که باعث جلب توجه بیشتر به این روش‌های اصلاحی می‌شود، سهل‌الوصول بودن، اقتصادی بودن و سرعت بالای این روش‌ها در کنار کارایی مطلوب آن‌ها است. اگرچه قبلاً تأثیر پرتوی فرابنفش (et al., 2017) و اسید اولئیک (Jahangir-Esfahani et al., 2020) و  $TiO_2$  (Li et al., 2013) به‌صورت جداگانه و در اصلاح بیوپلیمرهای مشابه مورد بررسی قرار گرفته است، ولی به‌نظر می‌رسد، استفاده از چند

زمانی صفر، ۳۰، ۶۰ و ۹۰ دقیقه تحت پرتوی UV-C و در فاصله پنج سانتی متری از لامپها قرار گرفت. سپس مقدار ۴۳ گرم از هر محلول در پتری دیشهای پلاستیکی با قطر ۱۵ سانتی متر ریخته شد. سرانجام نمونه‌ها به مدت ۴۸ ساعت در دمای محیط خشک شدند. پس از جدا کردن فیلمها از پلیت و قبل از انجام تمامی آزمونها، فیلمها با استفاده از محلول اشیاع نیترات منیزیم در رطوبت نسبی ۵۵-۵۰ درصد و در دمای محیط به مدت حداقل ۴۸ ساعت درون دسیکاتور مشروط شدند (Jahangir-Esfahani et al., 2018; Goudarzi et al., 2017).

#### اندازه‌گیری ضخامت فیلمها

ضخامت فیلمها به وسیله یک میکرومتر دستی با دقت  $0.1 \text{ mm}$  در ۵ نقطه تصادفی اندازه‌گیری شدند و میانگین اعداد به دست آمده در محاسبات برخی آزمونها مورد استفاده قرار گرفتند.

#### آزمون طیف‌سنجی مادون قرمز (FTIR)

برای ارزیابی تغییرات ایجاد شده در استخلافهای شیمیایی فیلمها، از دستگاه طیف‌سنجی مادون قرمز در دمای اتاق استفاده شد. بدین ترتیب فیلمهای پودر شده با پودر KBr به صورت قرص درآمده و در محدوده عدد موج  $4000 \text{ cm}^{-1}$  تا  $400 \text{ cm}^{-1}$  و وضوح  $4 \text{ cm}^{-1}$  مورد ارزیابی قرار گرفتند (Jahangir-Esfahani et al., 2018).

#### آماده‌سازی سوسپانسیون نانو دی‌اکسید تیتانیوم

مقدار ۲٪ از پودر  $\text{TiO}_2$  (نسبت به ماده خشک نشاسته) به ۵۰ میلی‌لیتر آب مقطر افزوده شد. جهت پخش کامل نانو ذرات، سوسپانسیون حاصل به مدت ۶۰ دقیقه توسط هموژنایزر اولتراسونیک یکنواخت گردید (Goudarzi et al., 2018).

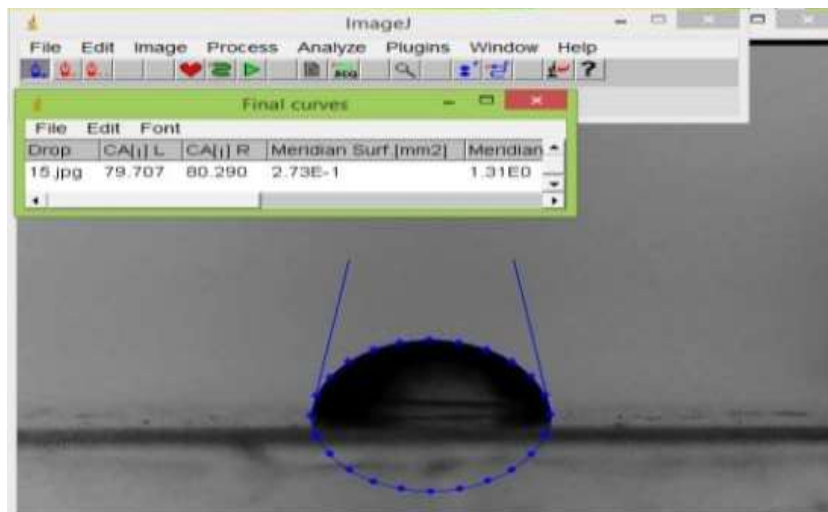
#### تهیه بیونانو کامپوزیت نشاسته-اسید اولئیک-نانو دی‌اکسید

##### تیتانیوم

برای تولید این بیونانو کامپوزیت پس از ژلاتینه شدن نشاسته و افزودن نرم‌کننده، ابتدا دوغاب همگن شده  $\text{TiO}_2$  به آرامی به محلول ژلاتینه نشاسته اضافه و به مدت ۱۰ دقیقه توسط همزن مغناطیسی همزده شد؛ سپس امولسیون اسید اولئیک به این مخلوط اضافه گردید. جهت پخش یکنواخت اسید اولئیک و  $\text{TiO}_2$  در محلول نانو کامپوزیت و جلوگیری از توده‌ای شدن آنها، محلول حاصل به مدت ۱۰ دقیقه نیز همزده شد سپس محلول مورد نظر به مدت ۵ دقیقه تحت فرآیند اولتراسونیک قرار گرفت (Goudarzi et al., Oleyaei et al., 2015, 2018).

#### اصلاح نوری محلول فیلم‌سازی

پس از تهیه محلول فیلم‌سازی نانو کامپوزیت نشاسته بر پایه امولسیون اسید اولئیک و نانو دی‌اکسید تیتانیوم، این محلول در بازه



شکل ۱- نحوه اندازه‌گیری زاویه تماس فیلمها با استفاده از نرم‌افزار Image j  
Fig. 1 Contact angle measurement of the films by Image j software.

مقطر با حجم ۵ میکرو لیتر، بر روی سطح پلیمر قرار داده شد. بلافاصله با استفاده از یک دوربین با بزرگنمایی ۲۰ تا ۲۰۰ برابر و قدرت تفکیک  $480 \times 640$  پیکسل (Dino-Light- AM 2111، تایوان) و هم‌زمان با

#### اندازه‌گیری زاویه تماس<sup>۱</sup>

به منظور اندازه‌گیری زاویه تماس فیلمها، از روش قطره چسبنده<sup>۲</sup> استفاده شد. در این روش با استفاده از یک میکروسرنگ، یک قطره آب

### آزمون جذب رطوبت<sup>۳</sup>

آزمون اندازه‌گیری جذب رطوبت بر اساس اختلاف وزن نمونه‌ها قبل و بعد از مشروط سازی در رطوبت نسبی ۵۵-۵۰ درصد تعیین شد. برای انجام این آزمون قطعات  $2 \times 2 \text{ cm}^2$  از فیلم‌ها در دسیکاتور حاوی کلرور کلسیم (رطوبت صفر درصد) تا رسیدن به وزن ثابت ( $m_1$ ) خشک شدند. برای جذب رطوبت، فیلم‌های خشک شده، در دسیکاتور حاوی محلول اشباع نیترات منیزیم جهت فراهم کردن رطوبت (۵۵-۵۰ درصد) تا رسیدن به وزن ثابت ( $m_2$ )، نگهداری شدند. با توجه به اختلاف وزن فیلم‌ها، میزان جذب آب نمونه‌ها (MA) به کمک رابطه ۳ محاسبه شد (Almasi et al., 2009).

$$MA = \frac{m_2 - m_1}{m_1} \times 100 \quad (3)$$

### اندازه‌گیری محتوای رطوبت<sup>۴</sup>

محتوای رطوبت (MC) نمونه‌ها در سه تکرار و بر اساس مقدار افت وزن نمونه مشخصی از فیلم طی خشک کردن در آون آزمایشگاهی (K.M-85، پارس آزما، ایران) در دمای  $105^\circ\text{C}$  به کمک رابطه ۴ اندازه‌گیری شد.

$$MC = \frac{W_1 - W_2}{W_1} \times 100 \quad (4)$$

که در این رابطه  $W_1$  وزن اولیه نمونه و  $W_2$  وزن نمونه بعد از خشک کردن است.

### اندازه‌گیری حلالیت فیلم‌ها

قطعات  $2 \times 2 \text{ cm}^2$  از هر فیلم در دمای  $105^\circ\text{C}$  تا رسیدن به وزن ثابت ( $m_3$ ) خشک شدند. فیلم‌های خشک شده در ۵۰ ml آب مقطر غوطه‌ور و به مدت ۶ ساعت در دمای  $25^\circ\text{C}$  به آرامی هم زده شدند. سپس باقیمانده فیلم‌ها در دمای  $105^\circ\text{C}$  تا رسیدن به وزن ثابت ( $m_4$ ) خشک شدند. در نهایت مقدار حلالیت فیلم در آب (SW) با استفاده از رابطه ۵ محاسبه شد.

$$SW = \frac{m_3 - m_4}{m_3} \times 100 \quad (5)$$

### تعیین خواص مکانیکی فیلم‌ها

ویژگی‌های مکانیکی فیلم‌های تهیه شده از طریق آزمون‌های کششی با استفاده از یک دستگاه ارزیابی مکانیکی (STM-5، ستام، ایران) و بر اساس استاندارد ASTM D882 اندازه‌گیری شدند. به این

تابش نور مستقیم از سمت مقابل دوربین به قطره آب، تصویر قطره آب تهیه شد (Shahabi-Ghahfarrokhi, et al., 2018). همانطور که در شکل ۱ نشان داده شده است؛ زاویه بین سطح پلیمر و قطره آب توسط نرم‌افزار Image J (Java 1.6.0\_05) اندازه‌گیری شد (Goudarzi et al., 2017). در صورتیکه زاویه تماس بین سطح جامد و قطره آب کمتر از  $90^\circ$  درجه باشد، آن سطح آب‌دوست است و در صورتیکه این زاویه بیشتر از  $90^\circ$  درجه باشد، آن سطح آب‌گریز می‌باشد؛ زیرا هرچه زاویه تماس بین مایع و سطح جامد بیشتر شود، تمایل گروه‌های آب‌دوست پلیمر به برقراری پیوند با آب کاهش می‌یابد (Jahangir-Esfahani et al., 2018).

### آزمون نفوذپذیری نسبت به بخار آب (WVP)<sup>۱</sup>

برای محاسبه میزان تبادل مولکول‌های آب از دو سطح پلیمر، از آزمون WVP مطابق روش ASTM E96-95 استفاده شد. برای انجام این آزمون، از فنجانک‌هایی با قطر دهانه ۱۳ mm و ارتفاع ۴۵ mm استفاده شد. درون فنجانک‌ها کلرید کلسیم خشک (جهت ایجاد رطوبت نسبی صفر درصد) ریخته شد. فیلم‌ها به اندازه دهانه فنجانک‌ها به صورت گرد بریده شده و در قسمت درپوش فنجانک‌ها به وسیله چسب دوطرفه چسبانده شدند. فنجانک‌ها با تمام محتویاتشان به وسیله ترازوی دیجیتال با دقت  $0.0001$  گرم (Precise Gravimetric - Precise AG - سوئیس) توزین شده، سپس درون دسیکاتور حاوی محلول اشباع کلرور سدیم (ایجاد رطوبت ۷۵٪ در دمای  $25^\circ\text{C}$ ) قرار گرفتند. بدین ترتیب اختلاف فشار بخار آب  $1753/55$  پاسکال در دو سمت فیلم ایجاد شد (Hassannia et al., 2015). طی دو روز و در بازه‌های زمانی خاص، فنجانک‌ها توسط ترازو با دقت  $0.0001 \text{ g}$  توزین شدند. آنگاه نمودار افزایش وزن آن‌ها نسبت به زمان رسم شد. با استفاده از رابطه‌های ۱ و ۲ به ترتیب آهنگ عبور بخار آب (WVTR<sup>۲</sup>) و نفوذپذیری به بخار آب (WVP) محاسبه شدند (Goudarzi et al., 2017).

$$WVTR = \frac{S}{A} \quad (1)$$

$$WVP = \frac{WVTR \times X}{\Delta P} \quad (2)$$

که در اینجا S بیانگر شیب افزایش وزن فنجانک‌ها در برابر زمان، X نشان‌دهنده مساحت سطح دهانه فنجانک، نشان‌دهنده ضخامت فیلم و  $\Delta P$  بیانگر اختلاف فشار در دو طرف فنجانک که معادل  $1753/55$  پاسکال است.

3 Moisture absorption

4 Moisture content

1 Water vapor permeability (WVP)

2 Water Vapor Transfer Rate (WVTR)

$a^*$ ,  $b^*$  استفاده شد. آنگاه اختلاف رنگ کلی ( $\Delta E$ ) اندیس زردی و اندیس سفیدی ( $WI^*$ ) نیز با استفاده از رابط ۱۰ تا ۱۲ محاسبه شدند.

$$\Delta E = \sqrt{(L^* - L)^2 + (a^* - a)^2 + (b^* - b)^2} \quad (10)$$

$$WI = 100 - \sqrt{(100 - L)^2 + a^2 + b^2} \quad (11)$$

$$YI = \frac{142.86 b}{L} \quad (12)$$

### تجزیه و تحلیل آماری داده‌ها

در این پژوهش، آنالیز داده‌ها با استفاده از نرم‌افزار SPSS نسخه ۲۴ انجام شد. تمامی آزمون‌ها با حداقل سه تکرار انجام شد. ابتدا نرمال بودن داده‌ها با استفاده از آزمون کولموگروف-اسمیرنوف بررسی شد. آنگاه به منظور تجزیه و تحلیل داده‌ها از روش ANOVA یک طرفه در قالب طرح کاملاً تصادفی و به منظور مقایسه میانگین داده‌ها، از آزمون دانکن و در سطح احتمال ۹۵٪ استفاده شد.

### نتایج و بحث

#### آزمون طیف‌سنجی مادون قرمز FTIR

آزمون FTIR روشی کارآمد برای تشخیص پیوندهای شیمیایی موجود در مواد است، که در این مطالعه برای تشخیص پیوندهای موجود در فیلم نشاسته-اسید اولئیک-دی‌اکسید تیتانیوم مورد استفاده قرار گرفته است. جذب امواج مادون قرمز توسط یک مولکول، باعث ایجاد حرکات ارتعاشی در پیوندهای آن می‌شود که اساس و مبنای طیف‌سنجی مادون قرمز را تشکیل می‌دهد (Oleyaei et al., 2015). هر ماده‌ای مانند اثر انگشت، طیف مادون قرمز مخصوص به خود را دارد. تقریباً تمامی ترکیباتی که پیوند کووالانسی دارند، فرکانس‌های متفاوتی از پرتو الکترومغناطیس ناحیه مادون قرمز را جذب می‌کنند (Jahangir-Esfahani et al., 2018). شکل ۲ طیف‌های FTIR مربوط به فیلم نشاسته، نشاسته-اسید اولئیک-TiO<sub>2</sub> و نشاسته-اسید اولئیک-TiO<sub>2</sub> اصلاح شده با ۹۰ دقیقه UV-C را نشان می‌دهد. پیک ظاهر شده در عدد موجی ۳۴۲۰ cm<sup>-1</sup> مربوط به کشش گروه O-H در نشاسته و TiO<sub>2</sub> است، در حالی که در عدد موجی ۲۹۲۰ cm<sup>-1</sup> کشش C-H مشاهده شد که مربوط به زنجیره هیدروکربنی در نشاسته و اسید اولئیک می‌باشد (Shahabi-Ghahfarrokhi et al., 2018). پیک ظاهر شده در عدد موجی ۱۶۴۰ cm<sup>-1</sup> نیز مربوط به گروه‌های O-H در ماتریس پلیمر می‌باشد و پیک مشاهده شده در عدد موجی ۱۱۵۳ cm<sup>-1</sup> نیز مربوط به

منظور هریک از فیلم‌ها به ابعاد ۱۰۰ mm طول و ۱۰ mm عرض برش داده شدند. نمونه‌ها در دسیکاتور حاوی محلول اشباع نیترات منیزیم با رطوبت نسبی ۵۵-۵۰ درصد به مدت حداقل ۴۸ ساعت مشروط شدند. فاصله بین دو فک دستگاه ۵۰ mm و سرعت حرکت فک‌ها ۱۰ mm/min انتخاب شدند.

فاکتورهای شامل مقاومت کششی (TS)<sup>۱</sup>، درصد ازدیاد طول (EB)<sup>۲</sup>، مدول یانگ (YM)<sup>۳</sup> و انرژی کششی تا لحظه پاره شدن (TEB)<sup>۴</sup> با استفاده از روابط ۶ تا ۹ تا Error! Reference source not found. به دست آمدند.

$$TS = \frac{F_{Max}}{A_{Min}} \quad (6)$$

$$EB = \frac{L_{Max}}{L_0} \times 100 \quad (7)$$

$$YM = \frac{\text{stress}}{\text{strain}} \quad (8)$$

$$TEB = A_{\text{Stress-Strain}} \quad (9)$$

در این روابط،  $F_{Max}$  حداکثر نیروی اعمال شده قبل از پاره شدن،  $A_{Min}$  حداقل سطح مقطع نمونه،  $L_{Max}$  طول نمونه در لحظه پاره شدن،  $L_0$  طول اولیه نمونه، Stress مقدار تنش اعمال شده در محدوده خطی، Strain مقدار کرنش در محدوده خطی و  $A_{\text{Stress-Strain}}$  مساحت سطح زیر نمودار تنش به کرنش است.

#### طیف‌سنجی مادون قرمز (FTIR)

برای ارزیابی تغییرات ایجاد شده در استخلاف‌های شیمیایی فیلم‌ها از دستگاه طیف‌سنجی FTIR در دمای اتاق استفاده شد. بدین ترتیب فیلم‌های پودر شده با پودر KBr به صورت قرص درآمده و در محدوده عدد موج ۴۰۰۰ cm<sup>-1</sup> تا ۴۰۰ cm<sup>-1</sup> و وضوح ۴ cm<sup>-1</sup> مورد ارزیابی قرار گرفتند.

#### ارزیابی رنگ فیلم‌های تولیدشده

به منظور تعیین پارمترهای رنگی (L, a, b) از یک دستگاه رنگ‌سنج دیجیتال (RGB-1002, Lutron Electronic Enterprise (Co. Taiwan) استفاده شد. پس از کالیبره کردن دستگاه از پس‌زمینه سفید استاندارد به عنوان پس‌زمینه با پارامترهای رنگی استاندارد (L\*,

4 Tensile energy to break (TEB)

5 Yellowness index

6 Whiteness index

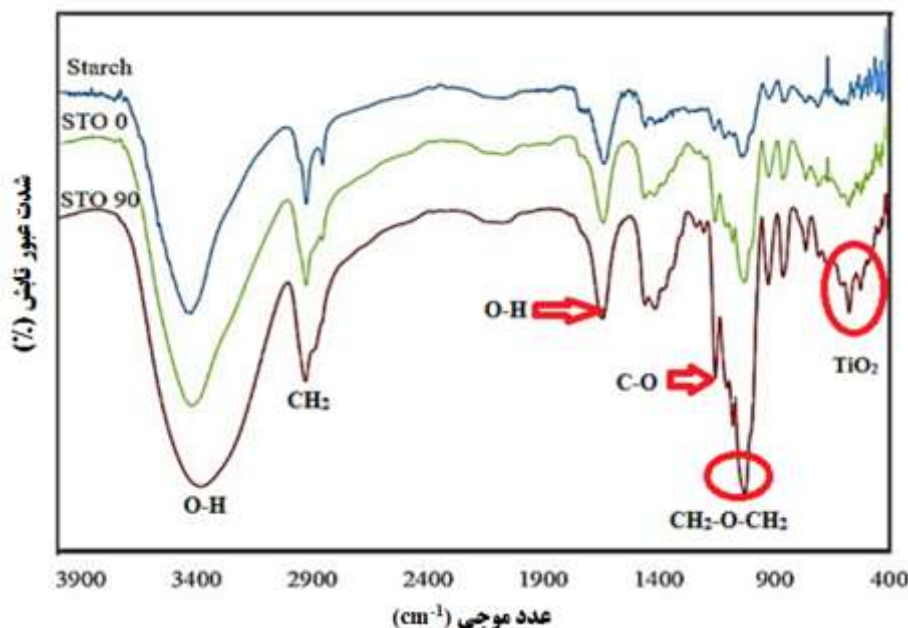
1 Tensile strength (TS)

2 Elongation at break (EB)

3 Young's modulus (YM)

نتیجه‌گیری می‌شود که، با افزودن همزمان اسید اولئیک و  $TiO_2$  به نشاسته، به علت درصدهای کم اسید اولئیک (۱٪ نسبت به وزن خشک نشاسته) و نانو دی‌اکسید تیتانیوم (۲٪ نسبت به وزن خشک نشاسته)، اگرچه تغییراتی جزئی در پیک‌های  $TiO_2$  (بازه  $520$  تا  $570\text{ cm}^{-1}$ ) ملاحظه شد ولی به دلیل همپوشانی این پیک‌ها به وسیله پیک‌های دیگر تغییرات چشمگیری در سایر پیک‌ها مشاهده نشد (Goudarzi *et al.*, 2018; Wang *et al.*, 2016; Lv *et al.*, 2010).

گروه عاملی C-O است (Goudarzi *et al.*, 2017); از طرفی پیک‌های بلندی که در عدد موجی  $1025\text{ cm}^{-1}$  مشاهده می‌شود شامل گروه‌های  $CH_2-O-CH_2$  است. پیک‌های ظاهر شده در بازه  $520$  تا  $570\text{ cm}^{-1}$  مربوط به نانو ذره  $TiO_2$  می‌باشد (Oleyaei *et al.*, 2015). در فیلم نشاسته با افزودن  $TiO_2$  پیک‌های بلندتر و با اعمال پرتودهی نیز تغییرات چشمگیری مشاهده شد. به نظر می‌رسد نانو ذره  $TiO_2$  تغییرات جزئی در ساختار بیوپلیمر نشاسته ایجاد کرده باشد. به‌طور کلی



شکل ۲- مقایسه FTIR در فیلم‌های نشاسته (Starch)، نشاسته-اسید اولئیک- $TiO_2$  (STO 0) و نشاسته-اسید اولئیک-دی‌اکسید تیتانیوم اصلاح شده با پرتو فرانشی به مدت ۹۰ دقیقه (STO 90)

Fig. 2. FTIR spectrum of starch films, starch-oleic acid- $TiO_2$  films (STO 0) and modified starch-oleic acid- $TiO_2$  films for 90 min (STO 90).

۱ مشاهده می‌شود، زاویه تماس فیلم نشاسته خالص در زمان اولیه  $72/26$  است و پس از  $60$  ثانیه به  $51/98$  رسیده است. در نانو کامپوزیت‌های تولید شده این اختلاف زاویه کمتر مشاهده شد به طوری که در گروه STO 0 زاویه تماس اولیه  $90/34$  درجه و پس از  $60$  ثانیه  $85/15$  درجه بود. به نظر می‌رسد، کاهش اختلاف زاویه تماس در زمان اولیه و زمان  $60$  ثانیه می‌تواند دلیل خوبی برای افزایش خاصیت آب‌گریزی فیلم نشاسته باشد (Jahangir-Esfahani *et al.*, 2018). این امر را می‌توان به ماهیت آب‌گریزی اسید اولئیک و همچنین تشکیل پیوند هیدروژنی بین نشاسته و  $TiO_2$  نسبت داد. نتایج مشابهی نیز در مورد تأثیر اسید اولئیک برافزایش زاویه تماس فیلم کیتوزان نیز گزارش شده است (Vargas *et al.*, 2009). Ghanbarzadeh و همکاران (۲۰۱۲)، نیز نتایج مشابهی را در آزمون تأثیر اسید اولئیک بر آب‌گریزی فیلم کربوکسی متیل سلولز گزارش کردند.

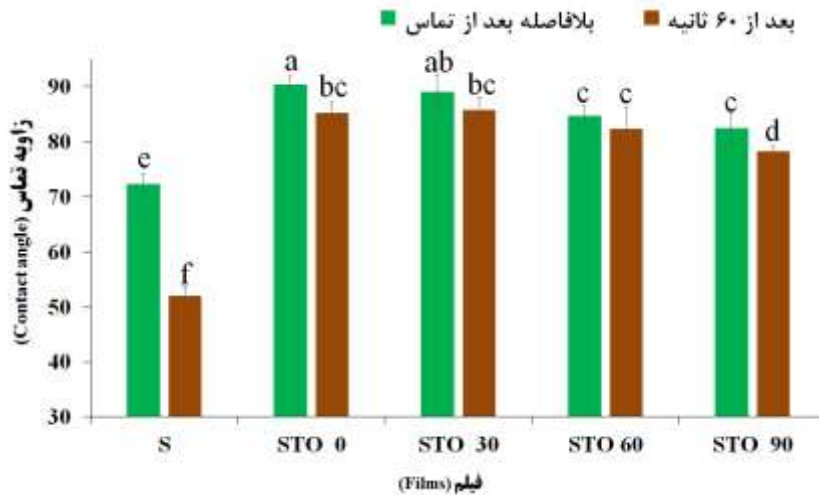
### زاویه تماس

تعیین خصوصیات سطحی از طریق اندازه‌گیری زاویه تماس می‌تواند یک معیار مناسب جهت تعیین میزان حساسیت به رطوبت باشد. سطوح آب‌دوست معمولاً زاویه تماس کمتر از  $90$  درجه دارند و باعث پهن‌شدگی قطره آب روی سطح پلیمر می‌شوند. افزایش زاویه تماس، نشان‌دهنده افزایش خصوصیات آب‌گریزی سطح فیلم و افزایش قابلیت کاربرد آن در صنعت بسته‌بندی می‌باشد (Sionkowska *et al.*, 2010; Li *et al.*, 2007); به این منظور آزمون زاویه تماس انجام شد و نتایج حاصل در شکل ۲ نشان داده شده است.

با افزودن  $TiO_2$  و اسید اولئیک (STO 0)، میزان زاویه تماس فیلم نشاسته افزایش قابل‌توجهی داشته است. به طوری که این مقدار از  $72/26$  درجه در فیلم نشاسته خالص به  $90/34$  درجه برای فیلم نشاسته-اسید اولئیک- $TiO_2$  افزایش یافته است. همان‌طور که در شکل



با اعمال پرتودهی بر امولسیون نشاسته-اسید اولئیک-TiO<sub>2</sub>، به صورت تدریجی زاویه تماس کاهش یافته است. به نظر می‌رسد، که دی ساکاریدهایی که ماهیت آب دوستی زیادی دارند، تولید شده باشد.

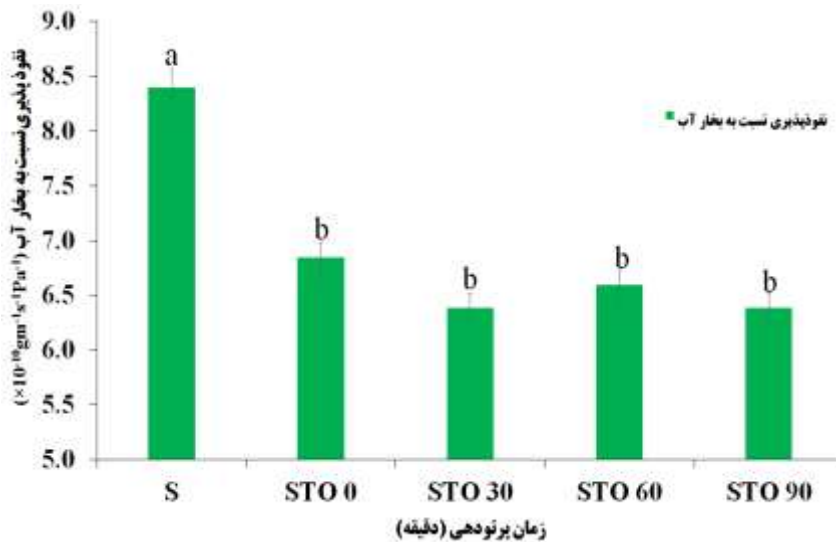


شکل ۳- زاویه تماس فیلم‌های نشاسته (S) و نشاسته-اسید اولئیک-TiO<sub>2</sub> (STO 0) همراه با تأثیر زمان‌های مختلف (۳۰، ۶۰ و ۹۰ دقیقه) پرتودهی با UV-C. حروف متفاوت نمایش داده شده بر روی نمودار بیانگر وجود اختلاف معنی‌دار در سطح احتمال ۵٪ بر اساس آزمون دانکن است (p < ۰/۰۵).  
**Fig. 3. Contact angle starch films and modified starch-oleic acid-TiO<sub>2</sub> films (STO) by UV-C at different exposer times (0, 30, 60 and 90 min). Mean values with different letter are significantly different (P<0.05)**

به بخار آب در مواد بسته‌بندی شده باید تا حد ممکن کم باشد (Zhou *et al.*, 2009). شکل ۳ مقادیر نفوذپذیری نسبت به بخار آب را در فیلم‌های نشاسته و تیمارهای آن نشان می‌دهد.

#### نفوذپذیری نسبت به بخار آب

از مهم‌ترین اهداف بسته‌بندی مواد غذایی، می‌توان به افزایش مقاومت نسبت به انتقال بخار آب اشاره کرد؛ بنابراین نفوذپذیری نسبت



شکل ۴- نفوذپذیری نسبت به بخار آب (WVP) فیلم‌های نشاسته (S) و نشاسته اسید اولئیک-TiO<sub>2</sub> (STO) همراه با تأثیر زمان‌های مختلف (۳۰، ۶۰ و ۹۰ دقیقه) پرتودهی با UV-C. حروف متفاوت نمایش داده شده بر روی نمودار بیانگر اختلاف معنی‌دار در سطح احتمال ۵٪ بر اساس آزمون دانکن است (p < ۰/۰۵).

**Fig. 4. Water vapor permeability of starch films (S) and modified starch-oleic acid-TiO<sub>2</sub> films (STO) by UV-C at different exposer times (0, 30, 60 and 90 min). Mean values with different letter are significantly different (P<0.05).**

فیلم نشاسته کاهش یافته است. این کاهش می‌تواند به دلیل پراکنش  $TiO_2$  در ماتریس فیلم باشد که به صورت یک سد فیزیکی عمل نموده و از انتشار مولکول‌های آب در کامپوزیت جلوگیری می‌کند. اما، با اعمال پرتودهی و افزایش زمان تابش، کاهش بیشتری در جذب رطوبت فیلم‌ها مشاهده می‌شود. به نظر می‌رسد، این تغییرات مربوط به توزیع گلبول‌های اسید اولئیک در ماتریس پلیمر بوده است، همچنین نانوذره  $TiO_2$  به‌عنوان یک ماده پرکننده ایفای نقش می‌نماید به این ترتیب حجم و فضاهای خالی ساختار فیلم کاهش می‌یابد (Ghanbarzadeh *et al.*, 2009). نتایج حاصل از این آزمون تطابق خوبی با نتایج پیشین دارد. Ghasemlou و همکاران (۲۰۱۱) دریافتند که افزودن اسید اولئیک در غلظت‌های بالا موجب کاهش جذب رطوبت فیلم کفیران شده است. در تحقیقات پیش‌ازین نیز، استفاده از پرتوهای یونیزه‌کننده را به‌عنوان عامل مناسبی جهت کاهش جذب رطوبت گزارش کرده‌اند (Kim *et al.*, 2008).

#### حلالیت در آب

میزان حلالیت در آب از خواص مهم در تعیین ویژگی‌های فیلم‌های زیست تخریب‌پذیر می‌باشد. لذا ترکیبات مورد استفاده در صنعت بسته‌بندی مواد غذایی به‌منظور بازداری فساد باید از مقاومت نسبتاً خوبی در برابر حلالیت برخوردار باشند (Li *et al.*, 2013; Tang *et al.*, 2008). با توجه به نتایج ارائه شده در شکل ۴، با افزودن نانوذره  $TiO_2$  و اسید اولئیک به محلول نشاسته، میزان حلالیت در آب کاهش یافت اما این کاهش معنی‌دار نبود، سپس با اعمال پرتودهی تا زمان ۳۰ دقیقه توسط UV-C، میزان حلالیت نسبت به تیمار شاهد به‌طور معنی‌داری کاهش یافت، به‌نظر می‌رسد پرتودهی در زمان‌های کوتاه‌مدت، موجب توزیع بهتر گلبول‌های اسید اولئیک و  $TiO_2$  در ماتریس نشاسته شده است؛ بدین ترتیب گروه‌های هیدروکسیل نشاسته تا حدودی مهار شده و آب‌گریزی نشاسته افزایش می‌یابد. با افزایش زمان پرتودهی حلالیت در آب نیز افزایش یافته است. این افزایش به‌دلیل تخریب مناطق آمورف نشاسته و تولید مونومر و دی‌ساکاریدها تحت تابش UV-C در زمان‌های طولانی‌تر در ساختار پلیمر می‌باشد (Shahabi-Ghahfarrokhi *et al.*, 2015). نتایج مشابه با این مطالعه، توسط Goudarzi و همکاران (۲۰۱۷) در بررسی اثر تابش فرابنفش بر محلول نشاسته گزارش شده است. آن‌ها دریافتند که تابش فرابنفش تا ۱ ساعت موجب کاهش حلالیت و در بازه‌های زمانی بالاتر موجب افزایش حلالیت فیلم‌های نشاسته‌ای شده است. با این حال Díaz و همکاران (۲۰۱۶) برخلاف نتایج این مطالعه مشاهده کردند که تابش فرابنفش در دوزهای بالا باعث کاهش حلالیت فیلم‌های پروتئین آب‌پنیر می‌شود. آنان تشکیل پیوندهای دی‌سولفید در ساختار فیلم را دلیل کاهش حلالیت گزارش

همان‌طور که ملاحظه می‌شود، با افزودن اسید اولئیک و نانوذره  $TiO_2$  به محلول نشاسته، مقدار WVP به‌طور قابل توجهی کاهش یافته است. به نظر می‌رسد برقراری پیوندهای هیدروژنی بین نشاسته و  $TiO_2$  همچنین توزیع گلبول‌های اسید اولئیک در ماتریس نشاسته عامل اصلی کاهش WVP بوده است (Ghasemlou *et al.*, 2011). به‌طور کلی نفوذپذیری نسبت به بخار آب به ویژگی آب‌دوستی مواد و همچنین وجود حفرات و فضاهای خالی در بین زنجیره‌های آن بستگی دارد. پیوندهای بین نشاسته و اسید اولئیک تا حدودی گروه‌های هیدروکسیل نشاسته را مهار می‌کند. نانو ذرات  $TiO_2$  نیز علاوه بر تشکیل پیوند با گروه‌های هیدروکسیل نشاسته، به‌عنوان یک پرکننده، فضاهای خالی و حفرات موجود در ساختار نشاسته را اشغال می‌کند، به این ترتیب با ایجاد حالت زیگزاگی و مسیر پرپیچ‌وخم، مسیر عبور مولکول‌های آب از دو طرف فیلم نشاسته دچار مشکل می‌شود (Almasi *et al.*, 2009). همان‌طور که در شکل ۳ نشان داده شده است، با افزایش مدت زمان پرتودهی، مقدار WVP تغییر معنی‌داری نداشته است. به نظر می‌رسد، افزایش زمان پرتودهی محلول نشاسته - اسید اولئیک -  $TiO_2$  تا ۹۰ دقیقه، در کاهش WVP فیلم نشاسته نقش مؤثری نداشته است.

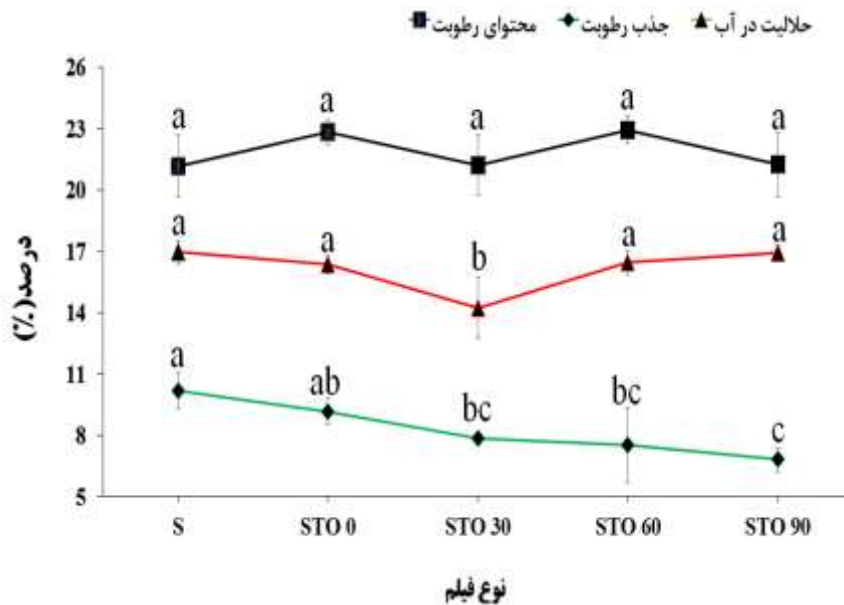
#### محتوای رطوبت

همان‌طور که در شکل ۴ مشاهده می‌شود با افزودن اسید اولئیک و نانو دی‌اکسید تیتانیوم به محلول فیلم‌ساز نشاسته تغییرات معنی‌داری در محتوای رطوبت فیلم نشاسته ایجاد نشده است. به نظر می‌رسد عدم تفاوت معنی‌دار در کاهش محتوای رطوبت، مربوط به خاصیت روان‌کنندگی اسید اولئیک، همچنین حضور امولسیفایر توئین ۸۰ است (Fei *et al.*, 2013). با اعمال پرتودهی توسط UV-C و افزایش زمان آن نیز، محتوای رطوبت تغییر معنی‌داری نداشته است. به نظر می‌رسد، زمان‌های کوتاه پرتودهی تغییری در محتوای رطوبت موجود در ساختار شبکه‌ای ایجاد نکرده باشد. Babaei و Shahabi Ghahfarrokhi (۲۰۱۸)، تأثیر زمان‌های مختلف پرتودهی توسط UV-C را بر روی فیلم نشاسته - کفیران - دی‌اکسید روی (ZnO) بررسی کردند. آن‌ها نتیجه گرفتند که زمان UV-C تا بازه ۱ ساعت تغییر محسوسی در میزان محتوای رطوبت نمونه‌ها نداشته ولی در بازه زمانی ۶ ساعت و بیشتر از آن محتوای رطوبت فیلم‌ها کاهش یافته است.

#### جذب رطوبت

یکی از مشکلات اساسی در استفاده از بیوپلیمرها، تمایل بالای آن‌ها نسبت به جذب رطوبت است. بنابراین ایجاد راهکاری برای افزایش مقاومت بیوپلیمرها نسبت به آب فاکتور مهمی می‌باشد (Tang *et al.*, 2008). همان‌طور که در شکل ۴ مشاهده می‌شود با افزودن اسید اولئیک و نانوذره  $TiO_2$  به محلول نشاسته، میزان جذب رطوبت

کردند. به نظر می‌رسد این عدم همخوانی به دلیل تفاوت در نوع بیوپلیمر مورد استفاده باشد.



شکل ۵- حلالیت در آب، جذب رطوبت و محتوای رطوبت، فیلم‌های نشاسته (S) و نشاسته-اسید اولئیک -  $TiO_2$  (STO) همراه با تأثیر زمان‌های مختلف (+، ۳۰، ۶۰ و ۹۰ دقیقه) پرتو دهی با UV-C. حروف متفاوت نمایش داده شده بر روی نمودار بیانگر اختلاف معنی‌دار در سطح احتمال ۵٪ بر اساس آزمون دانکن انجام شده است ( $p < 0.05$ ).

Fig. 5. Solubility in water, moisture absorption and moisture content of starch films and modified starch-oleic acid- $TiO_2$  films (STO 0) by UV-C at different exposer times (0, 30, 60 and 90 min). Mean values with different letter are significantly different ( $P < 0.05$ ).

جدول ۱- خصوصیات مکانیکی فیلم نشاسته و نشاسته-اسید اولئیک- $TiO_2$  همراه با تأثیر زمان‌های مختلف (+، ۳۰، ۶۰ و ۹۰ دقیقه) پرتو دهی با UV-C ( $p < 0.05$ )

Table 1- Physical properties of starch films and modified starch-oleic acid- $TiO_2$  films by UV-C at different exposer times (0, 30, 60 and 90 min)

انرژی کششی در نقطه پاره شدن Tensile energy to break (MJ)	مدول یانگ Young's modulus (MPa)	درصد افزایش طول Elongation at break (%)	مقاومت کششی Tensile strength (Mpa)	نوع فیلم (Films)
1.44 ± 0.51 <sup>b</sup>	206.12 ± 26.25 <sup>ab</sup>	26.35 ± 7.96 <sup>c</sup>	6.90 ± 0.54 <sup>a</sup>	نشاسته Starch
2.62 ± 0.41 <sup>ab</sup>	174.35 ± 3.83 <sup>b</sup>	62.30 ± 1.59 <sup>ab</sup>	5.69 ± 0.34 <sup>b</sup>	نشاسته-اسید اولئیک-دی اکسید تیتانیوم ۰ دقیقه (STO 0)
3.66 ± 0.59 <sup>a</sup>	220.14 ± 26.37 <sup>a</sup>	68.83 ± 5.95 <sup>a</sup>	6.25 ± 0.34 <sup>ab</sup>	نشاسته-اسید اولئیک-دی اکسید تیتانیوم ۳۰ دقیقه (STO 30)
2.65 ± 0.53 <sup>ab</sup>	217.58 ± 5.85 <sup>a</sup>	55.86 ± 1.78 <sup>b</sup>	5.55 ± 0.80 <sup>b</sup>	نشاسته-اسید اولئیک-دی اکسید تیتانیوم ۶۰ دقیقه (STO 60)
1.93 ± 1.02 <sup>b</sup>	234.17 ± 24.20 <sup>a</sup>	32.00 ± 3.95 <sup>c</sup>	5.38 ± 0.37 <sup>b</sup>	نشاسته-اسید اولئیک-دی اکسید تیتانیوم ۹۰ دقیقه (STO 90)

\* در هر ستون، مقادیر با حروف متفاوت بر اساس آزمون دانکن در سطح ۵٪ اختلاف معنادار با هم دارند ( $p < 0.05$ ). ‡ میانگین داده‌ها ± انحراف معیار

\*Means within each column with the same letters are not significantly different ( $P < 0.05$ )

‡ Data are means ± SD

### خواص مکانیکی

محتوی مواد غذایی از زمان بسته‌بندی تا مصرف تحت حفاظت مکانیکی بسته‌بندی قرار دارد. از این رو انتخاب مواد بسته‌بندی که دارای خواص مکانیکی مناسب باشند، از اهمیت خاصی برخوردار است. خواص مکانیکی فیلم‌های زیست‌تخریب‌پذیر به نیروهای بین‌مولکولی زنجیره‌های پلیمری سازنده آن‌ها، نسبت ترکیبات سازنده، افزودنی‌های اضافه شده و شرایط محیطی بستگی دارد (Li et al., 2011; Kim et al., 2008). همان‌طور که در جدول ۱ مشاهده می‌شود، با افزودن اسید اولئیک و TiO<sub>2</sub> به نشاسته، مقاومت کششی از ۶/۹۰ MPa به ۵/۶۹ MPa و مدول یانگ از ۲۰۶/۱۲ به ۱۷۴/۳۵ MPa کاهش یافته و ازدیاد طول از ۲۶/۳۵٪ به ۶۲/۳۰٪ و انرژی کششی در لحظه پاره شدن از ۱/۴۴ به ۲/۶۲ MJ افزایش یافته است. به نظر می‌رسد، افزودن اسید اولئیک به‌عنوان روان‌کننده و TiO<sub>2</sub> به‌عنوان پرکننده موجب

افزایش تحرک زنجیره‌های نشاسته شده است. نتایج مشابه این آزمون توسط Zhou و همکاران (۲۰۰۹) و Li و همکاران (۲۰۱۱)، درباره اثرات TiO<sub>2</sub> بر خواص مکانیکی بیوپلیمر حاصل از پروتئین آب‌پنیر مشابهت زیادی دارد. با اعمال پرتودهی در بازه زمانی کوتاه (۳۰ دقیقه)، تمامی پارامترهای مربوط به خواص مکانیکی نسبت به STO 0 افزایش یافته است و با افزایش زمان پرتودهی، کشش‌پذیری و انرژی کششی در لحظه پاره شدن کاهش قابل‌توجهی داشتند. به نظر می‌رسد، پرتودهی در بازه‌های زمانی کوتاه (۳۰ دقیقه)، موجب اتصالات عرضی و پیوندهای قوی بین اسید اولئیک و نشاسته همچنین نشاسته و TiO<sub>2</sub> می‌شود. در بازه‌های زمانی بالاتر به علت تخریب ساختار نشاسته و اثرات روان‌کنندگی محصولات تخریب شده در نشاسته، خواص مکانیکی کاهش بیشتری داشته است (Goudarzi et al., 2017).

جدول ۲- پارامترهای رنگ سنجی (L, a, b)، اختلاف رنگ (ΔE)، اندیس سفیدی (WI) و اندیس زردی (YI) فیلم نشاسته و نشاسته-اسید اولئیک-TiO<sub>2</sub> همراه با تأثیر زمان‌های مختلف (۰، ۳۰، ۶۰ و ۹۰ دقیقه) پرتودهی با UV-C (p < ۰/۰۵)

**Table 2- Hunter color values (L, a, and b), total color difference (ΔE), whiteness index (WI), yellowness index (YI) of starch films and modified starch-oleic acid-TiO<sub>2</sub> films (STO 0) by UV-C at different exposer times (0, 30, 60 and 90 min)**

YI	WI	ΔE	b	a	L	نوع فیلم Films
-2.13 ± 0.10 <sup>c</sup>	94.67 ± 0.19 <sup>a</sup>	5.33 ± 0.18 <sup>b</sup>	-1.42 ± 0.06 <sup>c</sup>	2.15 ± 0.19 <sup>a</sup>	95.34 ± 0.18 <sup>a</sup>	نشاسته Starch
5.63 ± 0.75 <sup>ab</sup>	94.00 ± 0.61 <sup>a</sup>	5.99 ± 0.61 <sup>b</sup>	3.75 ± 0.49 <sup>ab</sup>	-0.09 ± 0.26 <sup>b</sup>	95.33 ± 0.44 <sup>a</sup>	نشاسته-اسید اولئیک-دی اکسید تیتانیوم + دقیقه STO 0
6.09 ± 0.44 <sup>a</sup>	93.42 ± 0.59 <sup>a</sup>	6.57 ± 0.59 <sup>b</sup>	4.04 ± 0.28 <sup>a</sup>	-0.31 ± 0.09 <sup>b</sup>	94.83 ± 0.61 <sup>a</sup>	نشاسته-اسید اولئیک-دی اکسید تیتانیوم ۳۰ دقیقه STO 30
4.85 ± 1.41 <sup>ab</sup>	91.17 ± 1.03 <sup>b</sup>	8.83 ± 1.03 <sup>a</sup>	3.13 ± 0.95 <sup>ab</sup>	1.16 ± 1.35 <sup>a</sup>	91.97 ± 1.38 <sup>b</sup>	نشاسته-اسید اولئیک-دی اکسید تیتانیوم ۶۰ دقیقه STO 60
4.23 ± 0.83 <sup>b</sup>	91.42 ± 0.76 <sup>b</sup>	8.58 ± 0.76 <sup>a</sup>	2.73 ± 0.55 <sup>b</sup>	2.07 ± 0.20 <sup>a</sup>	92.16 ± 0.91 <sup>b</sup>	نشاسته-اسید اولئیک-دی اکسید تیتانیوم ۹۰ دقیقه STO 90

\* در هر ستون، مقادیر با حروف متفاوت بر اساس آزمون دانکن در سطح ۵٪ اختلاف معنادار با هم دارند (p < ۰/۰۵). † میانگین داده‌ها ± انحراف معیار

\*Means within each column with the same letters are not significantly different (P<0.05)

† Data are means ± SD

### رنگ‌سنجی

معمولاً فیلم‌های تهیه شده از نشاسته از شفافیت کمی برخوردارند (Shahabi-Oleyaei et al., 2015; Goudarzi et al., 2017). از این رو در بسته‌بندی‌های بر پایه نشاسته به دلیل کدورت و ایجاد محدودیت در مشاهده محتویات داخل بسته، این نوع مواد بسته‌بندی از مقبولیت کمی برخوردار هستند. جدول

۲ پارامترهای رنگی L (روشنایی - سفیدی)، a (قرمز - سبز) و b (زرد - آبی)، اختلاف رنگی ΔE، اندیس زردی YI و اندیس سفیدی WI بیونانو کامپوزیت نشاسته-اسید اولئیک-TiO<sub>2</sub> و تأثیر پرتو فرابنفش در تغییر این معیارهای رنگی را نشان می‌دهد. همان‌طور که در مشاهده می‌شود، با افزودن اسید اولئیک و TiO<sub>2</sub> تفاوت معنی‌داری در میزان پارامتر L ایجاد نشد؛ ولی با اعمال پرتودهی و افزایش زمان تابش،

ملاحظه‌ای افزایش یافته، اما نفوذپذیری نسبت به بخار آب و جذب رطوبت فیلم‌های نشاسته‌ای کاهش می‌یابد که این نتایج نشان‌دهنده افزایش میزان آبگریزی در فیلم‌های تهیه شده می‌باشد. با اعمال پرتو دهی توسط UV-C در بازه زمانی ۳۰ دقیقه، ابتدا حلالیت در آب فیلم‌های نشاسته کاهش یافت و سپس با افزایش زمان پرتو دهی به بیش از ۳۰ دقیقه، تنها جذب رطوبت فیلم‌ها کاهش قابل ملاحظه‌ای داشت و سایر آزمون‌های آبگریزی نه تنها تغییرات چشمگیری نداشتند بلکه در بعضی موارد مانند آزمون زاویه تماس، کاهش آبگریزی فیلم‌های نشاسته مشاهده شد. با مطالعه خواص مکانیکی در این فیلم، مشاهده شد که با افزودن اسید اولئیک و نانو دی‌اکسید تیتانیوم به فیلم نشاسته، مقاومت کششی و الاستیسیته کاهش و کشش‌پذیری و انرژی کششی تا لحظه پاره شدن افزایش یافته است. با اعمال پرتو دهی در بازه زمانی کوتاه مدت (۳۰ دقیقه)، تمامی پارامترهای مربوط به خواص مکانیکی افزایش یافت. دلیل این تغییرات، ایجاد اتصالات عرضی در حضور پرتو UV-C بیان شد. با افزایش زمان پرتو دهی به بیش از ۳۰ دقیقه، خواص مکانیکی این فیلم کاهش یافت که دلیل آن به تخریب ساختار و پیوندهای نشاسته در زمان‌های طولانی مدت پرتو دهی گزارش شد. با توجه به نتایج حاصل، اگرچه فرآیند پرتو دهی در بازه زمانی ۳۰ دقیقه، نقش قابل توجهی روی بهبود خصوصیات مکانیکی، جذب رطوبت و حلالیت در آب فیلم‌های نشاسته‌ای داشته است، ولی حضور اسید اولئیک و نانو دی‌اکسید تیتانیوم به تنهایی و بدون اعمال پرتو دهی نقش موثرتری در بهبود زاویه تماس، نفوذپذیری نسبت به بخار آب و محتوای رطوبت فیلم‌های نشاسته‌ای داشته است. به‌طور کلی به‌منظور تشدید خاصیت آبگریزی و بهبود خواص مکانیکی فیلم نشاسته، استفاده از اسید اولئیک و نانو دی‌اکسید تیتانیوم به‌صورت توأم، و در صورت استفاده از پرتو UV-C، بازه‌های زمانی کوتاه مدت (صفر - ۳۰ دقیقه) پیشنهاد می‌شود. از سوی دیگر با توجه به احتمال باقی ماندن رادیکال‌های آزاد تولید شده به‌صورت دست نخورده در بیوپلیمرهای پرتو دهی شده، اگرچه این بیوپلیمر زیست تخریب‌پذیر است، ولی به‌نظر می‌رسد، کیفیت مناسب خوراکی را نداشته باشد.

پارامتر  $L$  کاهش یافت با افزودن اسید اولئیک و  $\text{TiO}_2$  پارامتر  $a$  کاهش و  $b$  افزایش یافت. علت این پدیده مربوط به رنگ زرد اسید اولئیک می‌باشد. با اعمال فرآیند پرتو دهی به مدت ۳۰ دقیقه، پارامتر  $a$  از ۰/۰۹ - ۰/۳۱ - کاهش یافت ولی افزایش زمان پرتو دهی تا ۹۰ دقیقه موجب افزایش معنی دار پارامتر  $a$  تا ۲/۰۷ شد. پارامتر  $b$  نیز با اعمال پرتو دهی به مدت ۳۰ دقیقه از ۳/۷۵ به ۴/۰۴ افزایش یافت و با افزایش زمان پرتو دهی تا ۹۰ دقیقه موجب کاهش معنی دار پارامتر  $b$  تا ۲/۷۳ شد. اختلاف رنگی  $\Delta E$  نیز با افزایش زمان پرتو دهی افزایش و در مقابل WI کاهش یافت. اندیس زردی نیز با افزودن اسید اولئیک و  $\text{TiO}_2$  افزایش و با افزایش زمان پرتو دهی کاهش یافت. به‌نظر می‌رسد، افزایش زمان پرتو دهی موجب شکسته شدن ساختار نشاسته - اسید اولئیک -  $\text{TiO}_2$  و در نتیجه تولید مونو و دی‌ساکاریدهایی در ماتریس پلیمر شده که در نتیجه کاهش رنگ زرد پلیمر را در پی داشته است. به‌نظر می‌رسد، افزایش زمان پرتو دهی عامل مناسبی برای حذف رنگ زرد اسید اولئیک می‌باشد. Goudarzi و همکاران (۲۰۱۸) نیز نتایج مشابه با این تحقیق ارائه نمودند. برخلاف نتایج این مطالعه، Oleyaei و همکاران (۲۰۱۵) مشاهده کردند که با افزایش غلظت  $\text{TiO}_2$  پارامترهای  $L$  افزایش و  $a$  و  $b$  کاهش یافته است. به‌نظر می‌رسد عدم هماهنگی نتایج به دلیل استفاده اسید اولئیک و پرتو فرابنفش علاوه بر  $\text{TiO}_2$  همچنین غلظت مصرفی  $\text{TiO}_2$  می‌باشد.

## نتیجه گیری

در این پژوهش، خاصیت آبدوستی نشاسته به‌واسطه اسید اولئیک و نانو دی‌اکسید تیتانیوم اصلاح شد و از آن فیلم‌های مقاوم به رطوبت تهیه گردید. اسید اولئیک با غلظت ثابت (۱٪)، دی‌اکسید تیتانیوم با غلظت ثابت (۲٪) و زمان پرتو فرابنفش به‌عنوان عامل متغیر، در چهار بازه زمانی (صفر، ۳۰، ۶۰ و ۹۰ دقیقه) مورد بررسی قرار گرفت. نتایج حاصل از این مطالعه نشان دادند که با افزودن اسید اولئیک و نانو دی‌اکسید تیتانیوم به محلول نشاسته، زاویه تماس به‌طور قابل

## منابع

- Almasi, H., Ghanbarzadeh, B., & Pezeshki, N. A. (2009). Improving the physical properties of starch and starch-carboxymethyl cellulose composite biodegradable films. *Iranian Journal of Food Science And Technology*, 6(3), 1-11.
- Hassannia-Kolae, M. Khodaiyan F. Pourahmad, R & Shahabi-Ghahfarokhi, I. (2015). Functional Properties of Composite Edible Film Based Made with Whey Protein-Pullulan. *Journal of Agricultural Engineering Research*, 16(3), 45-56
- Jahangir-Esfahani, H, Shahabi-Ghahfarokhi, I & Pourata, R. (2020) Modification of hydrophilic properties of starch film by simultaneous use of oleic acid and UV ray. *Food Research*, 29 (4), 125-138

4. Jahangir Esfahani, H., Shahabi-Ghahfarrokhi, I. (2018). A Review of the Methods for Modification of Hydrophilic Properties of Starch Based Biopolymers as a Biodegradable Food Packaging Material. *9(34)*, 32-45
5. Jahangir-Esfahani, H., Shahabi-Ghahfarrokhi, I & Pourata, R. (2020). Photochemical Modification of Starch-Oleic Acid Composite as a Biodegradable Film in Food Packaging. *Iranian Journal of Biosystem Engineering*. *51(3)*, 643-654
6. Ashton, H., & Fletcher, D. (1962). Development and use of color standards for egg yolks. *Poultry science*, *41(6)*, 1903-1909. <https://doi.org/10.3382/ps.0411903>
7. Campos, A. d., Marconcini, J., Martins-Franchetti, S., & Mattoso, L. (2012). The influence of UV-C irradiation on the properties of thermoplastic starch and polycaprolactone biocomposite with sisal bleached fibers. *Polymer degradation and stability*, *97(10)*, 1948-1955. <https://doi.org/10.1016/j.polyimdegradstab.2011.11.010>
8. Díaz, O., Candia, D., & Cobos, Á. (2016). Effects of ultraviolet radiation on properties of films from whey protein concentrate treated before or after film formation. *Food Hydrocolloids*, *55*, 189-199. <https://doi.org/10.1016/j.foodhyd.2015.11.019>
9. Fei, P., Shi, Y., Zhou, M., Cai, J., Tang, S., & Xiong, H. (2013). Effects of nano- TiO<sub>2</sub> on the properties and structures of starch/poly (ε- caprolactone) composites. *Journal of Applied Polymer Science*, *130(6)*, 4129-4136. <https://doi.org/10.1002/app.39695>
10. Gennadios, A., Rhim, J., Handa, A., Weller, C., & Hanna, M. (1998). Ultraviolet radiation affects physical and molecular properties of soy protein films. *Journal of food science*, *63(2)*, 225-228. <https://doi.org/10.1111/j.1365-2621.1998.tb15714.x>
11. Ghanbarzadeh, B., & Almasi, H. (2011). Physical properties of edible emulsified films based on carboxymethyl cellulose and oleic acid. *International journal of biological macromolecules*, *48(1)*, 44-49. <https://doi.org/10.1016/j.ijbiomac.2010.09.014>
12. Ghasemlou, M., Khodaiyan, F., Oromiehie, A., & Yarmand, M. S. (2011). Characterization of edible emulsified films with low affinity to water based on kefir and oleic acid. *International journal of biological macromolecules*, *49(3)*, 378-384. <https://doi.org/10.1016/j.ijbiomac.2011.05.013>
13. Goudarzi, V., & Shahabi-Ghahfarrokhi, I. (2017). Photo-producible and photo-degradable starch/TiO<sub>2</sub> bionanocomposite as a food packaging material: Development and characterization. *International journal of biological macromolecules*. <https://doi.org/10.1016/j.ijbiomac.2017.08.058>
14. Goudarzi, V., Shahabi-Ghahfarrokhi, I., & Babaei-Ghazvini, A. (2017). Preparation of ecofriendly UV-protective food packaging material by starch/TiO<sub>2</sub> bio-nanocomposite: Characterization. *International journal of biological macromolecules*, *95*, 306-313. <https://doi.org/10.1016/j.ijbiomac.2016.11.065>
15. Goudarzi, V., & Shahabi-Ghahfarrokhi, I. (2017). Production of starch film by photochemical reactions: Physicochemical characterization. *Food Research*, *26(3)*, 519-530.
16. Jamal Abadi, M., & Sarem Nejad, S. (2015). Investigation on the Physicochemical Properties of Ultrasound Treated Wheat Starch. *Food Science and Technology*, *13(53)*, 127-136.
17. Kim, J. K., Jo, C., Park, H. J., & Byun, M. W. (2008). Effect of gamma irradiation on the physicochemical properties of a starch-based film. *Food Hydrocolloids*, *22(2)*, 248-254. <https://doi.org/10.1016/j.foodhyd.2006.11.010>
18. Kovács, V., Gondor, O. K., Szalai, G., Majláth, I., Janda, T., & Pál, M. (2014). UV-B radiation modifies the acclimation processes to drought or cadmium in wheat. *Environmental and experimental botany*, *100*, 122-131. <https://doi.org/10.1016/j.envexpbot.2013.12.019>
19. Li, X.-M., Reinhoudt, D., & Crego-Calama, M. (2007). What do we need for a superhydrophobic surface? A review on the recent progress in the preparation of superhydrophobic surfaces. *Chemical Society Reviews*, *36(8)*, 1350-1368. DOI:<https://doi.org/10.1039/B602486F>
20. Oleyaei, S, A., Ghanbarzadeh, B., Moayed, A, A., Poursani, P, & Khatamian, M. (2015). Preparation and Characterization of Nanostructural and Physicochemical Properties of Starch-TiO<sub>2</sub> Biocomposite Films. *Innovative Food Technologies*. *2 (4)*, 87-101
21. Li, Y., Jiang, Y., Liu, F., Ren, F., Zhao, G., & Leng, X. (2011). Fabrication and characterization of TiO<sub>2</sub>/whey protein isolate nanocomposite film. *Food Hydrocolloids*, *25(5)*, 1098-1104. <https://doi.org/10.1016/j.foodhyd.2010.10.006>
22. Li, Z., Mi, L., Wang, P.-N., & Chen, J.-Y. (2011). Study on the visible-light-induced photokilling effect of nitrogen-doped TiO<sub>2</sub> nanoparticles on cancer cells. *Nanoscale research letters*, *6(1)*, 356. <https://doi.org/10.1186/1556-276X-6-356>
23. Li, Z., Pan, X., Wang, T., Wang, P.-N., Chen, J.-Y., & Mi, L. (2013). Comparison of the killing effects between nitrogen-doped and pure TiO<sub>2</sub> on HeLa cells with visible light irradiation. *Nanoscale research letters*, *8(1)*, 96. <https://doi.org/10.1186/1556-276X-8-96>
24. Linsebigler, A. L., Lu, G., & Yates Jr, J. T. (1995). Photocatalysis on TiO<sub>2</sub> surfaces: principles, mechanisms, and selected results. *Chemical reviews*, *95(3)*, 735-758. <https://doi.org/10.1021/cr00035a013>

25. Linthorst, J. (2010). An overview: origins and development of green chemistry. *Foundations of chemistry*, 12(1), 55-68. <https://doi.org/10.1007/s10698-009-9079-4>
26. Lv, J., Shen, Y., Peng, L., Guo, X., & Ding, W. (2010). Exclusively selective oxidation of toluene to benzaldehyde on ceria nanocubes by molecular oxygen. *Chemical communications*, 46(32), 5909-5911. <https://doi.org/10.1039/C0CC00777C>
27. Mohanty, A., Misra, M., & Hinrichsen, G. (2000). Biofibers, biodegradable polymers and biocomposites: an overview. *Macromolecular materials and Engineering*, 276(1), 1-24. [https://doi.org/10.1002/\(SICI\)1439-2054\(20000301\)276:1<::AID-MAME1>3.0.CO;2-W](https://doi.org/10.1002/(SICI)1439-2054(20000301)276:1<::AID-MAME1>3.0.CO;2-W)
28. Ojagh, S. M., Rezaei, M., Razavi, S. H., & Hosseini, S. M. H. (2010). Development and evaluation of a novel biodegradable film made from chitosan and cinnamon essential oil with low affinity toward water. *Food Chemistry*, 122(1), 161-166. <https://doi.org/10.1016/j.foodchem.2010.02.033>
29. Ozdemir, M., & Floros, J. D. (2004). Active food packaging technologies. *Critical reviews in food science and nutrition*, 44(3), 185-193. <https://doi.org/10.1080/10408690490441578>
30. Shahabi-Ghahfarrokhi, I., & Babaei-Ghazvini, A. (2018). Using photo-modification to compatibilize nano-ZnO in development of starch-kefir-ZnO green nanocomposite as food packaging material. *International journal of biological macromolecules*, 124, 922-930. <https://doi.org/10.1016/j.ijbiomac.2018.11.241>
31. Shahabi-Ghahfarrokhi, I., Khodaiyan, F., Mousavi, M., & Yousefi, H. (2015). Effect of  $\gamma$ -irradiation on the physical and mechanical properties of kefir biopolymer film. *International journal of biological macromolecules*, 74, 343-350. <https://doi.org/10.1016/j.ijbiomac.2014.11.038>
32. Singh, J., Kaur, L., & McCarthy, O. (2007). Factors influencing the physico-chemical, morphological, thermal and rheological properties of some chemically modified starches for food applications—A review. *Food Hydrocolloids*, 21(1), 1-22. <https://doi.org/10.1016/j.foodhyd.2006.02.006>
33. Sionkowska, A., Skopinska-Wisniewska, J., Planecka, A., & Kozłowska, J. (2010). The influence of UV irradiation on the properties of chitosan films containing keratin. *Polymer degradation and stability*, 95(12), 2486-2491. <https://doi.org/10.1016/j.polymdegradstab.2010.08.002>
34. Slavutsky, A. M., & Bertuzzi, M. A. (2015). Formulation and characterization of nanolaminated starch based film. *LWT Food Science and Technology*, 61(2), 407-413. <https://doi.org/10.1016/j.lwt.2014.12.034>
35. Tang, S., Zou, P., Xiong, H., & Tang, H. (2008). Effect of nano-SiO<sub>2</sub> on the performance of starch/polyvinyl alcohol blend films. *Carbohydrate Polymers*, 72(3), 521-526. <https://doi.org/10.1016/j.carbpol.2007.09.019>
36. Vargas, M., Albors, A., Chiralt, A., & González-Martínez, C. (2009). Characterization of chitosan-oleic acid composite films. *Food Hydrocolloids*, 23(2), 536-547. <https://doi.org/10.1016/j.foodhyd.2008.02.009>
37. Wang, X.-Y., Mertz, D., Blanco-Andujar, C., Bora, A., Ménard, M., Meyer, F., Bégin-Colin, S. (2016). Optimizing the silanization of thermally-decomposed iron oxide nanoparticles for efficient aqueous phase transfer and MRI applications. *RSC Advances*, 6(96), 93784-93793. DOI: 10.1039/C6RA18360C
38. Zhou, J., Wang, S., & Gunasekaran, S. (2009). Preparation and characterization of whey protein film incorporated with TiO<sub>2</sub> nanoparticles. *Journal of food science*, 74(7), N50-N56. <https://doi.org/10.1111/j.1750-3841.2009.01270.x>